

Πρακτικά	3ου Συνέδριου	Μάϊος 1986
Δελτ. Ελλ. Γεωλ. Εταιρ.	Τομ. XX/3 Vol.	σελ. 25-35 pag.
Bull. Geol. Soc. Greece		Αθήνα 1988 Athens

ΕΦΑΡΜΟΓΕΣ ΣΤΗ ΧΡΗΣΗ ΤΟΥ ΗΛΕΚΤΡΟΝΙΚΟΥ ΥΠΟΛΟΓΙΣΤΗ ΓΙΑ ΤΗΝ ΕΠΙΛΥΣΗ ΠΡΑΚΤΙΚΩΝ ΥΔΡΟΓΕΩΛΟΓΙΚΩΝ ΘΕΜΑΤΩΝ. ΠΕΡΙΠΤΩΣΕΙΣ ΣΤΟ ΥΔΡΟΦΟΡΟ ΠΕΔΙΟ ΤΗΣ ΛΕΚΑΝΗΣ ΒΙΣΤΟΝΙΔΑΣ

I. ΔΙΑΜΑΝΤΗΣ*, A. ΚΑΡΑΚΟΣ*, Π. ΜΑΡΙΝΟΣ*

ΣΥΝΟΨΗ

Οι πολλές μεταβολές πτη σύσταση του υλικού πληρώσεως της λεκάνης της λίμνης Βιστονίδας και η επαλληλία των υδροφορέων που προκύπτει, μαζί με τη μεγάλη ακαταστασία στην οριζόντια εξάπλωση οδήγησε στη χρησιμοποίηση του ηλεκτρονικού υπολογιστή στις προσπάθειες ομαδοποίησης του υδροφόρου υλικού. Η έμφαση δίνεται στην επίλυση υδρογεωλογικών Οεμάτων που παρουσιάζουν ενδιαφέρον από πλευράς επιλογής θέσεων για την εκτέλεση νέων υδροληπτικών έργων.

ABSTRACT

Les changements à la constitution du matériel de replissage du bassin du lac de Vistonis avec la répétition des niveaux aquers et le désordre à la distribution horizontal qui en résulte ont été confronté par l'emploi de l'ordinateur dans un effort d'aboutit à un groupement hydrogéologique. L'attention est concentrée aux questions ayant un intérêt immédiat au choix des endroits pour l'exécution des nouveaux ouvrages de captage d'eau.

1. ΕΙΣΑΓΩΓΗ

Στην εργασία αυτή γίνεται μια προσπάθεια να φανούν οι δυνατότητες και τα αποτελέσματα από τη χρησιμοποίηση του ηλεκτρονικού υπολογιστή, σ'ένα ευρύ επερογενές πεδίο, όπως τέτοιο είναι το πεδινό τμήμα της λεκάνης Βιστονίδας (πεδιάδα Ξάνθης-Ιάσμου). Η κύρια προσπάθεια εδώ γίνεται τόσο στην επίλυση υδρογεωλογικών Οεμάτων που παρουσιάζουν κυρίως πρακτικό ενδιαφέρον, όσο και στην ταξινόμηση και ομαδοποίηση του άναρχου από πρώτη ματιά υλικού.

Ειδικός στόχος στην εργασία αυτή είναι να φανεί η εύκολη χρήση και αποτελεσματικότητα του υπολογιστή σε θέματα όπως αυτά που αναφέρθηκαν και κυρίως η δυνατότητα απλούστευσης χρονοβόρων

▲

* (Δημόσκριτειο Πανεπιστήμιο Θράκης, Πολυτεχνική Σχολή)

25.

Ψηφιακή Βιβλιοθήκη "Θεόφραστος" - Τμήμα Γεωλογίας, Α.Π.Θ.

διαδικασιών ,που απαιτούνται στη γεωλογική κατ υδρογεωλογική σύνθεση δεδομένων.

Σαν θέματα επιλέχθηκαν συνηθισμένες εφαρμογές με τιδιαίτερο ενδιαφέρον όπως π.χ. ο εντοπισμός τομέων στο ανάπτυγμα του κάμπου της Ξάνθης που να προσφέρονται για την ανόρυξη αβαθών υδροληπτικών έργων (φρεάτων),ή περιοχών που να προσφέρονται για την κατασκευή βαθιών παραγωγικών υδρογεωτρήσεων.Επίσης η ομαδοποίηση του ακατάστατου από πλευράς διανομής προσχώσεων μπορεί να δώσει χρήσιμες ενδείξεις για την πρόσφατη παλαιογεωγραφική εξέλιξη της περιοχής.

2. ΓΕΝΙΚΑ

Για την επίλυση αυτών των θεμάτων στον υπολογιστή τα στοιχεία από 135 υδρογεωτρήσεις της δυτικής υπολεκάνης της Βιστονίδας (περιοχή Ξάνθης),που προέκυψαν από τις λιθολογικές τομές,που είχαν συνταχθεί κατά τη διάρκεια της κατασκευής των γεωτρήσεων αυτών.

Τα στοιχεία δίνουν την πληροφόρηση:

- (α) ανά μέτρο βάθους για το είδος του υλικού ως προς τον υδροφόρο του χαρακτήρα
- (β) για το βάθος της γεώτρησης
- (γ) ως προς τη θέση της γεώτρησης (αύξοντα αριθμό και συντεταγμένες).

Με το τελευταίο στοιχείο δίνεται η δυνατότητα στον υπολογιστή να δίνει κάθε φορά τα αποτελέσματα σε οριζόντιογραφικό διάγραμμα (γράφημα) με την ακρίβεια των θέσεων που επιτρέπουν τα διαστήματα γραφής του.Οι συντεταγμένες γεωτρήσεων προσφέρονται από τοπογραφικό χάρτη 1:100.000 ώστε να υπάρχει σ'ένα φύλλο,σύμπτωση με το γράφημα του υπολογιστή.Η παρουσίαση δηλαδή των αποτελεσμάτων γίνεται με τη χρήση του εκτυπωτικού και όχι τον ploter του υπολογιστή.

Για περισσότερο παραστατική εικόνα των γραφημάτων σχεδιάστηκαν στις διαστάσεις του ορισμένα χαρακτηριστικά τοπογραφικά και γεωμορφολογικά στοιχεία της περιοχής (σχ.1).

Το πρόγραμμα που χρησιμοποιήθηκε γραμμένο σε γλώσσα FORTRAN και εύκολο στη χρήση του,προέρχεται από προσαρμογή των συνηθισμένων προγραμμάτων ομαδοποίησης πληροφοριών.

3. ΗΕΡΙΓΡΑΦΗ ΠΕΡΙΟΧΗΣ ΕΦΑΡΜΟΓΗΣ

Η περιοχή αποτελεί τμήμα του τριτογενούς βυθίσματος της

ΠΡΟΓΡΑΜΜΑ

```

1 DIMENSION IT(135,120),IA(135,6),IB(50,100),IE(20),IX(135)
2 C *****
3 C      IT = ΠΙΝΑΚΑΣ ΜΕ ΤΙΣ ΤΙΜΕΣ ΤΩΝ ΓΕΩΤΡΗΣΕΩΝ
4 C      IA = ΠΙΝΑΚΑΣ ΜΕ ΤΙΣ ΣΥΝΤΕΤΑΓΜΕΝΕΣ ΤΩΝ ΘΕΣΣΕΩΝ ΤΩΝ ΓΕΩΤΡΗΣΕΩΝ
5 C      IB = ΒΟΗΘΗΤΙΚΟΣ ΠΙΝΑΚΑΣ ΓΙΑ ΤΗΝ ΕΚΤΥΠΩΣΗ ΤΩΝ ΓΡΑΦΗΜΑΤΩΝ
6 C      IE, IX = ΒΟΗΘΗΤΙΚΟΙ ΠΙΝΑΚΕΙ
7 C
8 C      DATA IBL,ISYN,ITEL/1H,1H*,1H/*
9 C
10 C      *****
11 C      NT = ΑΓΙΩΜΟΙ ΓΕΩΤΡΗΣΕΩΝ
12 C      N = ΠΛΗΟΣ ΓΡΑΜΜΗΝ ΤΟΥ ΠΙΝΑΚΑ IB
13 C      M = ΑΡΙΘΜΟΙ ΣΤΗΝ ΤΟΥ ΠΙΝΑΚΑ IB
14 C
15 C      READ(5,60) NT
16 C      N=5C
17 C      M=1C
18 C      *****
19 C      ΔΙΑΒΑΖΟΥΜΕ ΤΙΣ ΤΙΜΕΙΣ ΤΩΝ ΣΥΝΤΕΤΑΓΜΕΝΩΝ ΤΩΝ ΓΕΩΤΡΗΣΕΩΝ
20 C
21 C      DO 1 I=1,NT
22 C      READ(5,21)(IA(I,J),J=2,6)
23 C      FORMAT(3A1,1X,2I2)
24 C      IAI(I,1)=I
25 C      CALL PLOT(IB,N,M,1)
26 C      DC 20 I=1,NT
27 C      KX=N+1-IA(I,6)
28 C      KY=IA(I,5)
29 C      IB(KX,KY)=IA(I,3)
30 C      IB(KX,KY-1)=IA(I,2)
31 C      IB(KX,KY+1)=IA(I,4)
32 C      CALL PLOT(IB,N,M,2)
33 C
34 C      *****
35 C      ΔΙΑΒΑΖΟΥΜΕ ΤΙΣ ΤΙΜΕΙΣ ΓΙΑ ΚΑΘΕ ΜΕΤΡΟ ΒΑΘΟΥΣ
36 C
37 C      DO 40 I=1,NT
38 C      READ(5,41)(IT(I,J),J=1,120)
39 C      FORMAT(4X,76I1/4X,44I1),
40 C      CONTINUE
41 C
42 C      *****
43 C      L = ΠΛΗΟΣ ΓΡΑΦΗΜΑΤΩΝ
44 C      *****
45 C      IE = ΠΙΝΑΚΑΣ ΜΕ ΤΑ ΔΙΑΦΟΡΑ ΒΑΘΩΝ
46 C
47 C      READ(5,60) L,(IE(I),I=1,L)
48 C      FORMAT(20I4)
49 C      DO 66 J=1,L
50 C      IEE=IE(J)
51 C      CALL PLOT(IB,N,M,1)
52 C      K1=0
53 C      K2=L
54 C      DO 61 I=1,NT
55 C      IF(IJ(I,IEE).EQ.1) GOTO 62
56 C      K2=M+1
57 C      KX=N+1-IA(I,6)
58 C      KY=IA(I,5)
59 C      IB(KX,KY)=ISYN
60 C      GOTO 63
61 C      K1=K1+1
62 C      KX=N+1-IA(I,6)
63 C      KY=IA(I,5)
64 C      IB(KX,KY)=ITEL
65 C      CONTINUE
66 C      CALL PLOT(IB,N,M,2)
67 C      AK1=FLDAT(K1)/FLDAT(INTP)
68 C      AK2=FLDAT(K2)/FLDAT(INTP)
69 C      AK1=AK1*100
70 C      AK2=AK2*100
71 C      M=ITE(6,63)*K1*AK1,K2,AK2,IEE
72 C      63 FORMAT(1HD,5X,1YPAKOHN,I4,F6.2,% ΓΕΩΤΡΗΣΕΙΣ ΜΕ ΛΑΡΟΜΟΧΛΑ %
73 C      2,1TPOMATA(,),KAI,I4,*14,F6.2,% ΓΕΩΤΡΗΣΕΙΣ ΜΕ ΛΕΠΤΟΜΕΡΗΣΤΙΑ %
74 C      3,142X,1METPAF
75 C      66 CONTINUE
76 C
77 C      *****
78 C      IB A = ΜΕΓΙΣΤΟ ΒΑΘΟΣ ΕΡΕΥΝΑΣ ΤΩΝ ΓΕΩΤΡΗΣΕΩΝ
79 C      ISYNEX = ΣΥΝΕΧΟΜΕΝΑ ΜΕΤΡΑ ΥΔΡΟΦΟΡΩΝ ΕΤΡΟΜΑΤΩΝ
80 C
81 C      READ(5,60) IBA,ISYNEX
82 C      CALL PLOT(IB,N,M,3)
83 C      DO 71 I=1,N
84 C      IX(I)=C
85 C      KY=2

```

Συνέχεια από την προηγούμενη σελίδα

```

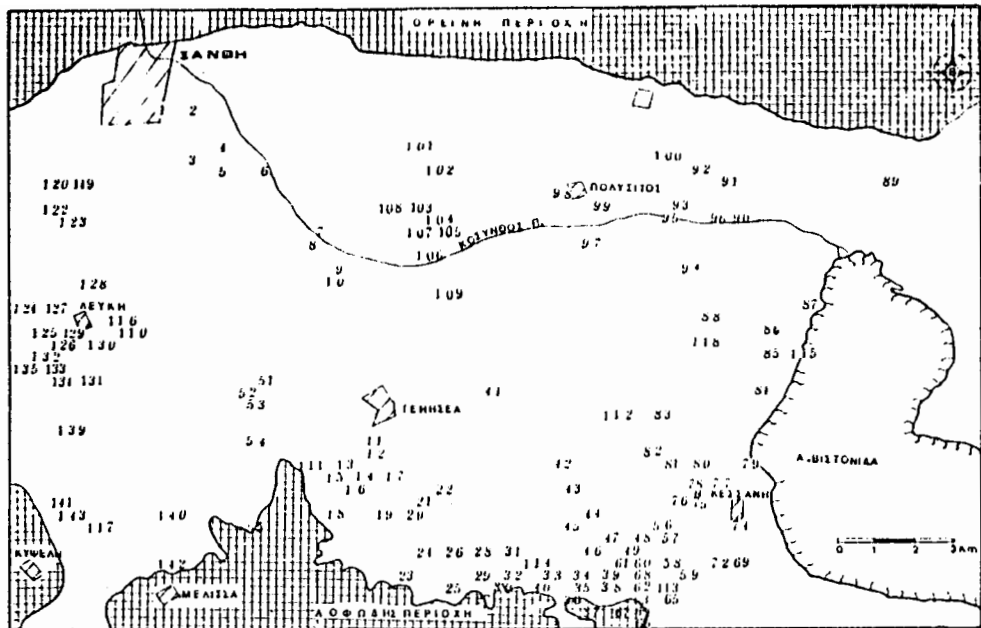
61      DO 72 J=1,IBA
62      DO 73 I=1,NT
63      IF (IX(I,J),NE.0) GOTO 73
64      J2=J1+ISYNEX-1
65      IF (J2.GT.1,20) GOTO 75
66      DO 74 J=J1,J2
67      IF (IT(I,J),NE.2) GOTO 73
68      CONTINUE
69      K3=K3+1
70      IX(I,I)=1
71      KX=EN+1-TA(I,6)
72      KY=IA(I,5)
73      IB(KX,KY)=ISYN
74      CONTINUE
75      CONTINUE
76      CONTINUE
77      CALL PLOT(1B,N,M,2)
78      AK3=FLOAT(K3)/FLOAT(INT)
79      AK3=AK3*100
80      WR ITE(6,77) IB,A,K3,AK3,ISYNEX
81      77 FORMAT(1H0,1BX,'HEXP1(I,A,IS,12X,'METRA',IS,=,F6.2, ' ΓΕΩΤΡΗΣΕΙΣ'
82      X,EXOY_N,15.2X,'METRA ΣΥΝΕΧ ΟΠΡΑ')
83      C **** ΕΚΤΥΠΩΣΗ ΑΡΓΑΙΙΚΟΝ ΜΕΧΡΙ ΤΑ ΔΕΚΑ ΜΕΤΡΑ
84      C
85      CALL PLOT(1B,N,M,1)
86      K=0
87      DO 50 I=1,NT
88      DO 51 J=1,10
89      IF (IT(I,J),EQ.2) GOTO 50
90      CONTINUE
91      K=K+1
92      KX=EN+1-TA(I,6)
93      KY=IA(I,5)
94      IB(KX,KY)=IA(I,3)
95      IB(KX,KY,1)=IA(I,2)
96      IB(KX,KY,2)=IA(I,4)
97      51      CONTINUE
98      CALL PLOT(1B,N,M,2)
99      AK3=FLOAT(K3)/FLOAT(INT)
100     WR ITE(6,52) K,AK3
101     AK3=AK3*100
102     52     FORMAT(1H0,2,X,'HEXP1 TA 10 METR ΟΙ',IS,=,F6.2, ' ΓΕΩΤΡΗΣΕΙΣ '
103     N,EXOY_N,AP(IA(KA)))
104     STOP
105     END

```

```

1      SUBROUTINE PLOT(1B,N,M,K)
2      DIMENSION IB(N,M)
3      DATA JBL/1H /
4      IF (K,EQ.2) GOTO 100
5      DO 10 I=1,N
6      DO 10 J=1,M
7      10   IB(I,J)=JBL
8      RETURN
9      10C
10      20C
11      FORMAT(1H1//////////1IX,102(1H-1))
12      DO 21 T=1,N
13      21   WR ITE(6,22) (131 I,J),J=1,M)
14      21   FORMAT(1IX,1HI,100A1,1HI)
15      21   CONTINUE
16      23   WR ITE(6,23)
17      23   FORMAT(1IX,102(1H-1))
18      END

```



Σχ. 1. Ηληροφόρηση από τον υπολογιστή. Θέσεις και αριθμός των γεωτρήσεων που χρησιμοποιήθηκαν (η ακριβής θέση συμπύπτει με το κέντρο του φρέσου των μονάδων του αύξοντα αριθμού).

Fig.1. Distribution des forages par l'ordinateur

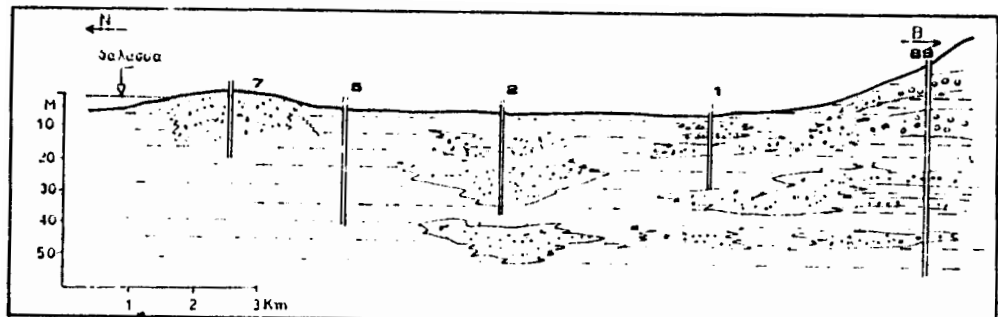
μείζονος λεκάνης Βιστονίδας. Πρόκειται για επίπεδο τμήμα με πολύ μικρές υψομετρικές διαφορές.

Τελικό υπόβαθρο του βυθίσματος αποτελούν τα μεταμορφωμένα πετρώματα ζώνης της Ροδόπης. Τα παλαιογενή ιζήματα, εναλλαγές ψαμμιτών, αργιλικών σχιστολίθων μαργών κ.λ.π. αποτελούν την πρώτη σειρά ιζημάτων.

Τη δεύτερη σειρά ιζημάτων αποτελούν τα νεογενή της περιοχής που είναι το άμεσο υπόβαθρο των τεταρτογενών προσχώσεων του κάμπου.

Στο τεταρτογενές αλλά και το ανώτερο νεογενές με τις παλιότερες και σύγχρονες προσχώσεις των χειμάρρων, ρεμάτων και ποταμών χαρακτηριστική είναι η έντονη ετερογένεια που παρουσιάζεται προς όλες τις κατευθύνσεις, αποτέλεσμα των διαδοχικών και κατ' εναλλαγή διαβρώσεων της κοίτης των ποταμών και χειμάρρων, σαν συνέπεια της αιφνίδιας απόθεσης φερτών υλών, σε δελταικό περιβάλλον.

Η ετερογένεια των υλικών του κάμπου έχει προκαλέσει μια ποικιλομορφία στην ανάπτυξη των υδροφοριών με μια εναλασσό-



Σχ.2. Σκαρίφημα με τις εναλλαγές οριζόντων στις προσχώσεις σε τμήματα της λεκάνης Βιστονύδας

Fig.2. Croquis indiquant l'hétérogénéité du remplissage alluvial.

μενη και ποικιλουσα υδρογειωλογικη συμπεριφορα κατα την οριζόντια και κατακόρυφη έννοια.

4. ΕΝΤΟΠΙΣΜΟΣ ΤΟΜΕΩΝ ΟΠΟΥ ΔΕΝ ΣΥΝΙΣΤΑΤΑΙ Η ΚΑΤΑΣΚΕΥΗ ΦΡΕΑΤΩΝ ΠΑΡΑ ΜΟΝΟ ΓΕΩΤΡΗΣΕΩΝ

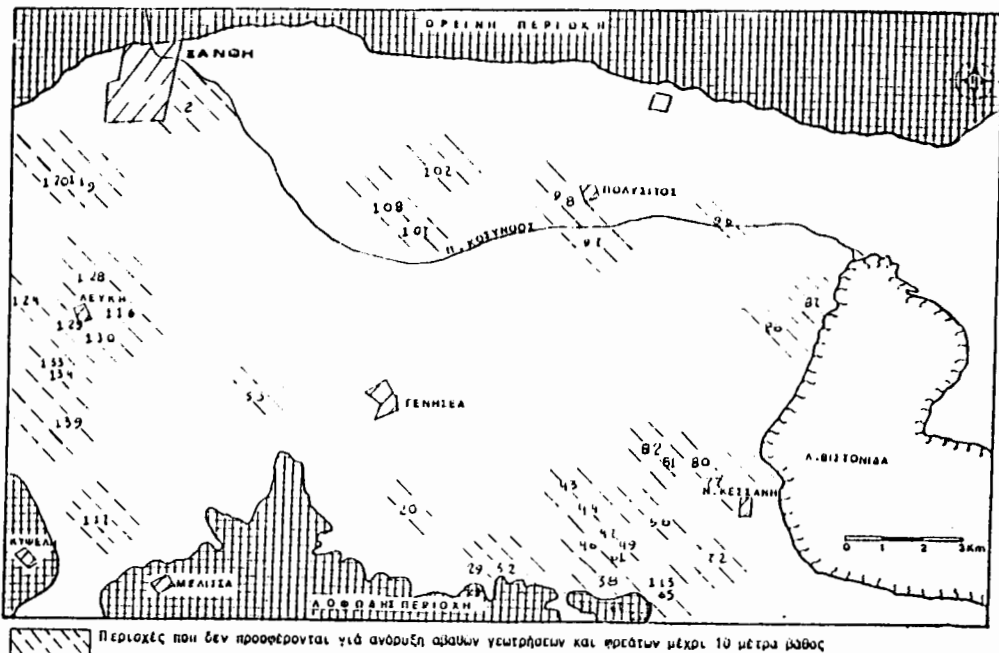
Πρόκειται για ένα συνηθισμένο πρόβλημα που απασχολεί συχνά τους κατοίκους των αγροτικών περιοχών. Η αναζήτηση θέσεων για την κατασκευή αβαθών γεωτρήσεων (τουλούμπες) ή φρεάτων για τις καθημερινές ανάγκες σε νερό, δημιουργεί πρόσθετα οικονομικά προβλήματα, εξ αιτίας των πολλών αποτυχημένων προσπαθειών, αλλά και σπατάλη χρόνου.

Για να θεωρηθούν πετυχημένες οι κατασκευές αυτές θα πρέπει συνήθως μέχρι τα 15 μέτρα βάθος να συναντήσουν ένα τουλάχιστον υδροφόρο στρώμα έστω και μικρού πάχους, μια και οι απαιτήσεις σε νερό είναι συνήθως μικρές. Με βάση λοιπόν το δεδομένο αυτό στο εδώ παράδειγμα γίνεται μια προαπάθεια μέσα από τα διατρητικά στοιχεία των 135 γεωτρήσεων να εντοπισθούν οι περιοχές εκείνες που μέχρι κάποιο βάθος (για το εδώ παράδειγμα 10 μέτρα) παρουσιάζουν μόνο αργιλικά υλικά και κατά συνέπεια είναι απαγορευτικές για τέτοιες κατασκευές.

Το πρόγραμμα που συντάχθηκε για το ερώτημα αυτό έδωσε την εικόνα του σχήματος 3 η οποία ολοκληρώθηκε με τη συμπλήρωση των τοπογραφικών στοιχείων της περιοχής και συχρόνως τη σκιαγράφηση των περιοχών που παρουσιάζουν μέχρι τα 10 μέτρα μόνο αργιλικά υλικά.

Η εικόνα αυτή διευκολύνει αρκετά τον εντοπισμό των μη παραγωγικών θέσεων ώστε να αποφεύγονται όσο το δυνατόν ά-

στοχες προσπάθειες. Στις περιοχές αυτές η μόνη λύση υδροληπτικού έργου είναι η βαθιά γεώτρηση. Η εφαρμογή μπορεί να γίνει φυσικά, πιό αποτελεσματική με την πύκνωση των σημείων και αν ληφθούν υπόψη και σημεία από αποτυχημένες παλαιές προσπάθειες κατασκευής φρεάτων.



Σχ. 3. Πληροφόρηση από τον υπολογιστή: γεωτρήσεις (32,8%) που έχουν μέχρι τα 10μ. αργιλικά. Σηιαγράφηση σχετικών ζωνών. Αντιπαράβαλε για τις περιοχές χωρίς πληροφόρηση (ακουσιά γεωτρήσεων) με το σχ. 1.

Fig.3. Information par l' ordinateur: forages avec plus le 10 premiers mètres d' argile.

5. ΠΑΡΑΔΕΙΓΜΑ ΕΝΤΟΠΙΣΜΟΥ ΖΩΝΩΝ ΓΙΑ ΤΗΝ ΑΝΟΡΥΞΗ ΓΕΩΤΡΗΣΕΩΝ ΠΟΥ ΝΑ ΠΑΡΟΥΣΙΑΖΟΥΝ ΜΕΓΙΣΤΟ ΣΥΝΕΧΟΜΕΝΟ ΥΔΡΟΠΕΡΑΤΟ ΥΛΙΚΟ

Το θέμα αυτό παρουσιάζει πρακτικό ενδιαφέρον και αφορά την καλύτερη επιλογή θέσεων για την ανδρυζη βαθιών παραγωγικών υδρογεωτρήσεων. Είναι ένα συνηθισμένο πρόβλημα των υπηρεσιών που ασχολούνται στην κατεύθυνση αυτή και η δυνατότητα επιλογής της καλύτερης θέσης ελαχιστοποιεί το κόστος συνολικά ενός αναπτυξιακού προγράμματος εκμετάλλευσης των υπόγειων νερών της περιοχής.

Η επιτυχία των γεωτρήσεων εξαρτάται από το πάχος των συνεχομένων υδροφόρων οριζόντων που θα συναντηθούν και από το βάθος που αναπτύσσονται. Με βάση λοιπόν τα διατρητικά στοιχεία των 135 υδρογεωτρήσεων της περιοχής, που δόθηκαν στον υπολογιστή συντάχθηκε το πρόγραμμα που επιλέγει και κατανέμει εκείνες τις πληροφορίες από τις γεωτρήσεις που παρουσιάζουν τουλάχιστον ορισμένα μέτρα ανάλογα με την περιοχή, συνεχόμενο υδροφόρο πάχος μέχρι όμως ένα ορισμένο βάθος (ανάλογα και πάλι με την περιοχή). Για το παράδειγμα θεωρήσαμε ιδανικό συνεχόμενο πάχος τουλάχιστον 12 μέτρα μέχρι ένα επίπεδο βάθους 50 μέτρων.

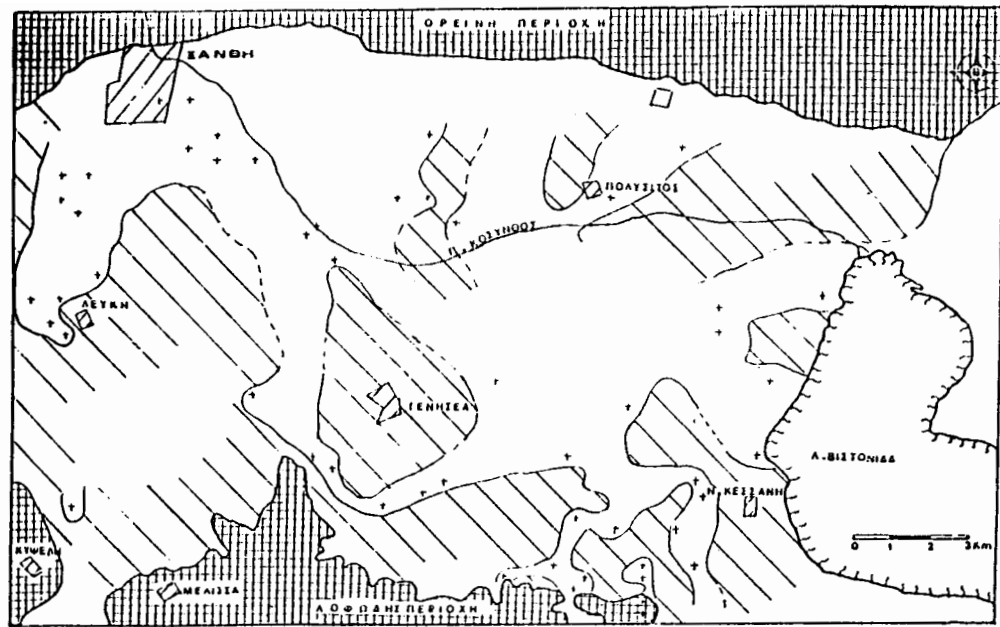
Το γράφημα όπως προέκυψε από τον υπολογιστή και με τη συμπλήρωση πάνω των τοπογραφικών στοιχείων και την οριοθέτηση των περιοχών εκείνων που δεν παρουσιάζουν το παραπάνω ζητούμενο φαίνεται στο σχ.4.

Με την εικόνα αυτή διευκολύνεται σε σημαντικό βαθμό η επίλυση του προβλήματος που ετέθη εδώ σαν παράδειγμα. Μπορεί η εικόνα να γίνει ακόμα πιό λειτουργική αν στα δεδομένα συμπεριληφθούν ακόμη και οι ειδικές παροχές, οι υδροστατικές στάθμες άντλησης κ.ά.

6. ΕΝΔΙΑΦΕΡΟΝ ΑΠΟ ΠΛΕΥΡΑΣ ΠΑΛΑΙΟΓΕΩΓΡΑΦΙΚΗΣ ΕΞΕΛΙΞΗΣ

Για τη γενίκευση της αξιολόγησης των πληροφοριών και σε θέματα γεωλογίας τα στοιχεία των γεωτρήσεων επεξεργάσθηκαν ως προς τη φύση του υλικού σε μια σειρά διαδοχικών βαθών. Η επεξεργασία αυτή αφορά την παλαιογεωγραφική εξέλιξη της περιοχής και συγχρόνως παρέχει τη δυνατότητα κάποιας ομαδοποίησης του άναρχου από μια πρώτη ματιά υλικού του κάμπου.

Η δυνατότητα εδώ του υπολογιστή είναι η γρήγορη επιλο-



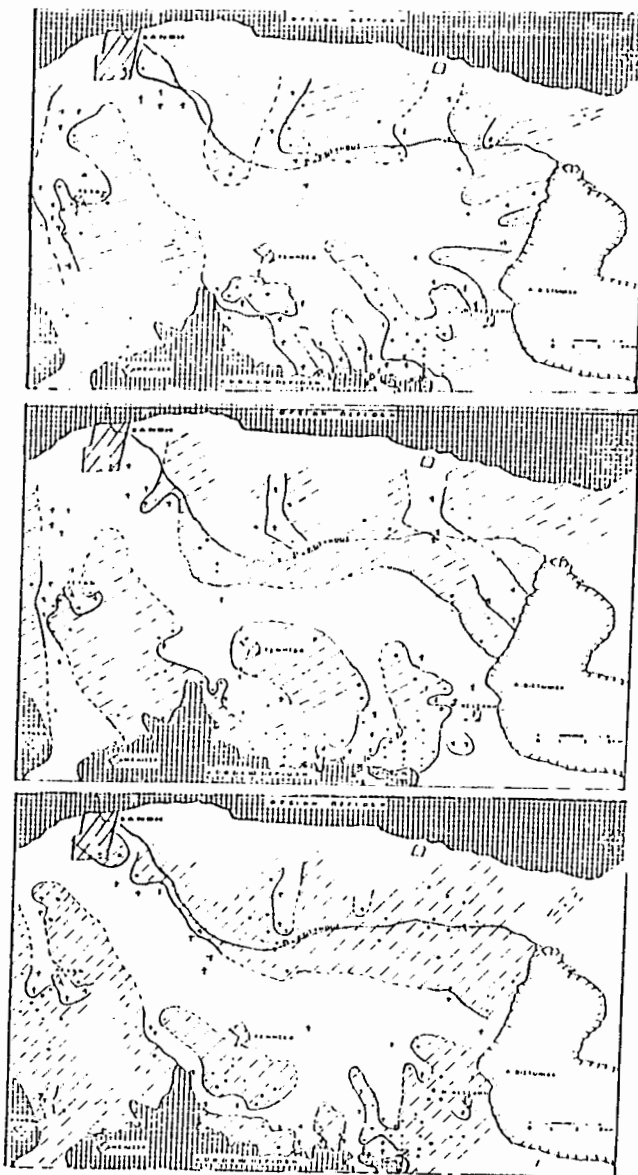
Ζώνες με μεγάλο υδροφόρο πάχος (12 m) μέχρι τα 50 μέτρα βάθυς

Σχ.4.Πληροφόρηση από τον υπολογιστή: γεωτρήσεις (39.26%) που έχουν 12 μέτρα συνεχόμενα υδροφόρα μέχρι βάθος 50 μ. Οριοθέτηση των σχετικών ζωνών. Αντιπαράβαλε για τις περιοχές χωρίς πληροφόρηση (αικουσία γεωτρήσεων) με το σχήμα 1.

Fig.4.Information par l' ordinateur;forages avec plus de 12 mètres consécutives de terrain aquifer.

γή, κατανομή και ομαδοποίηση του διαφορετικού υλικού (αδρομερές ή λεπτομερές) για το ίδιο βάθος σ' όλες τις γεωτρήσεις. Προκύπτει έτσι, αμέσως μια πρώτη αδρή εικόνα των αξόνων αδρομερούς υλικού που πρακτικά αντιστοιχεί σε πιό διάκριτη ευρύτερη επιφανειακή απορροή για την περίοδο που αναφέρεται στο συγκεκριμένο βάθος. Θα πρέπει εδώ να αναφερθεί ότι θεωρείται ότι ίδια βάθη σ' όλο το ανάπτυγμα που εξετάζεται μπορεί να θεωρηθούν ότι ανήκουν στην ίδια περίου γεωλογική στιγμή. Επίσης οι υψομετρικές διαφορές που παρουσιάζουν τα σημεία στην επιφάνεια του ανάπτυγμα του κάμπου είναι και προοδευτικές και μικρές.

Σαν παράδειγμα έγιναν οι διάφορες κατανομές στα βάθη από 30-60μ. με σκοπό να φανούν αφ' ενός οι παλαιογεωγραφικοί άξονες και αφ' ετέρου η πιθανή εξέλιξή τους. Στο σχ. 5 φαίνεται μια ευδιάκριτη μεταβολή των αξόνων απορροής σε σχέση με τη σημερινή θέση τους.



Περιοχές με λεκτομερή ύληνα

Σχ. 5. Πληροφόρηση από τον υπολογιστή: Κατανομή αδρομερούς υλικού στα επίπεδα -31, -46 και -60 m από την επιφάνεια του εδάφους.

Fig.5. Information par l' ordinatur.Distribution du matériel grossier aux niveaux -31,-46,-60 m de la surface.

7. ΣΥΜΠΕΡΑΣΜΑΤΑ

Από τα παραδείγματα που περιγράφηκαν προκύπτει η εύ-κολη γρήγορη και αποτελεσματική χρήση του ηλεκτρονικού υ-πολογιστή σε θέματα συνήθως υδρογεωλογικού ενδιαφέροντος. Η χρησιμοποίησή του για την επίλυση πρακτικών προβλημάτων από τα στοιχεία που ήδη υπάρχουν σε μια υδροφόρα λεκάνη βοηθά αποτελεσματικά στη μελέτη για την ανάπτυξη της πε-ριοχής της.

Για μεγαλύτερη προσέγγιση των θεμάτων που εξετάσθηκαν μπορούν να χρησιμοποιηθούν περισσότερα στοιχεία, όπως οι επί μέρους διάκριση των υδροφόρων στρωμάτων (άμμος, χάλικες, ιλύς) οι στάθμες του νερού, η ειδική παροχή, οι δυναμικές στάθ-μες κ.ά.

Πρέπει τέλος να τονισθεί ότι η καλύτερη και κυρίως η α-ξιόπιστη αξιοποίηση των αποτελεσμάτων της επεξεργασίας με τον υπολογιστή εξαρτάται βέβαια από την ακρίβεια και αξιο-πιστία των στοιχείων με τα οποία αυτός τροφοδοτείται αλλά και πάντοτε από την ανάγκη παρέμβασης της "γεωλογικής λογι-κής" στην τελική σύνθεση. Σε καμμία περίπτωση δεν μπορεί συ-νεπώς να μην προηγείται η βασική γεωλογική και υδρογεωλογι-κή έρευνα.

ΒΙΒΛΙΟΓΡΑΦΙΑ

- Διαμαντής, Ι. 1985. Υδρογεωλογική μελέτη της λίμνης Βιστονίδας. Μελέτη υδροφόρων οριζόντων μέσα σ'ένα ευρύ ετερο-γενές πεδίο. Διδακτορική Διατριβή Ξάνθη.
- Διαμαντής, Ι., Μαρίνος, Π. 1983. Η ανάπτυξη και τροφοδοσία των υπόγειων υδροφόρων οριζόντων στην πεδιάδα Ξάνθης-Βιστονίδας. Δελτ. Ελλ. Γεωλ. Εταιρίας XVII σελ. 152-172.
- Υ.Ε.Β. Λιθολογικές τομές υδρογεωτρήσεων 1960-1983.